

---

 ФИЗИЧЕСКИЕ СВОЙСТВА  
 КРИСТАЛЛОВ
 

---

УДК 535.375.54

## ТЕТРАГОНАЛЬНЫЙ СИЛИКАТ $\text{Ca}_2\text{Ga}_2\text{SiO}_7$ – НОВЫЙ ВКР-АКТИВНЫЙ КРИСТАЛЛ

© 2019 г. А. А. Каминский<sup>1,\*</sup><sup>1</sup>Институт кристаллографии им. А. В. Шубникова ФНИЦ “Кристаллография и фотоника” РАН, Москва, Россия

\* E-mail: kaminalex@mail.ru

Поступила в редакцию 21.03.2019 г.

После доработки 21.03.2019 г.

Принята к публикации 22.04.2019 г.

Сообщается о новом ВКР-активном кристалле  $\text{Ca}_2\text{Ga}_2\text{SiO}_7$  и его стационарной стоксовой и антистоксовой  $\chi^{(3)}$ -нелинейной генерации в видимом диапазоне длин волн и о перспективах его использования в само-ВКР лазерных конвертерах.

DOI: 10.1134/S0023476119050096

Кристаллы с разупорядоченной  $D_{2d}^3$ -тетрагональной структурой “мелилита”<sup>1</sup> привлекают внимание исследователей более 50 лет (начиная с  $\text{Ba}_2\text{ZnGe}_2\text{O}_7 : \text{Nd}^{3+}$  [1]) как материалы-основы для  $\text{Ln}^{3+}$ -лазант-ионов [2, 3]. Среди них  $\text{Nd}^{3+}$ -содержащие лазерные силикаты  $\text{Ca}_2\text{MgSi}_2\text{O}_7$  [4] и  $\text{Ca}_2\text{Ga}_2\text{SiO}_7$  [5], для которых наиболее изучены генерационные возможности и оценен прикладной потенциал. В частности, на основе кристаллов  $\text{Ca}_2\text{Ga}_2\text{SiO}_7 : \text{Nd}^{3+}$  созданы лазеры, излучающие в одномикронном диапазоне длин волн (межмультиплетный переход  ${}^4\text{F}_{3/2} \rightarrow {}^4\text{I}_{11/2}$ ) в режимах генерации: пикосекундном [6], импульсном с ламповой накачкой с многоджоульной выходной энергией [7], непрерывном с диодно-лазерной накачкой [8] и др. Перечисленные результаты мотивировали постановку настоящего исследования по расширению арсенала лазерных прикладных возможностей титанового кристалла, используя опыт современной физики вынужденного комбинационного рассеяния (ВКР) кристаллов (например, [9]). В работе открыт эффект  $\chi^{(3)}$ -нелинейного лазинга в  $D_{2d}^3$ -тетрагональном кальций-галлиевом силикате и изучены его спектры стоксовой и антистоксовой генерации, возбужденной в видимом диапазоне длин волн.

Исследования по обнаружению ВКР в кристалле  $\text{Ca}_2\text{Ga}_2\text{SiO}_7$  проведены в условиях стационарного возбуждения его  $\chi^{(3)}$ -нелинейного лазинга

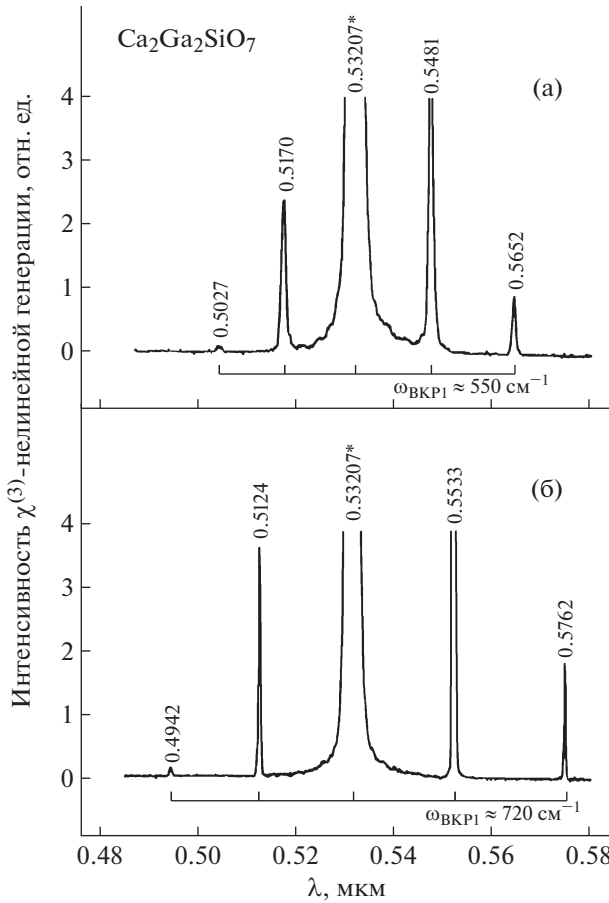
импульсами длительностью  $\tau_b \approx 60$  пс второй гармоники ( $\lambda_b = 0.53207$  мкм) излучения основного канала генерации  ${}^4\text{F}_{3/2} \rightarrow {}^4\text{I}_{11/2}$  ( $\lambda = 1.06415$  мкм) пикосекундного  $\text{Nd}^{3+} : \text{Y}_3\text{Al}_5\text{O}_{12}$ -лазера.

Использована безрезонаторная (однопроходная) схема эксперимента с ориентированными образцами в виде брусков сантиметрового размера без просветляющего покрытия их плоскопараллельных торцов. Некоторые кристаллофизические свойства исследуемого кристалла приведены в табл. 1.

**Таблица 1.** Кристалл-основа  $\text{Ca}_2\text{Ga}_2\text{SiO}_7$  для  $\text{Nd}^{3+}$ -лазант-ионов

Пр. гр. [5]	$D_{2d}^3, P\bar{4}2_1m$ (№ 113)
$a = b, c, \text{\AA}$ [5, 10]	7.793(3), 5.132(2)
$T_{\text{пл}}, ^\circ\text{C}$ [5, 11]	~1465
Оптическая прозрачность, мкм [12]	~0.25–5.5
Нелинейность	$\chi^{(2)} + \chi^{(3)}$
Показатели преломления [12]*	$n_{o,e}^2 = 1 + (k_{o,e}\lambda^2)/(\lambda^2 - \lambda_{o,e}^2)$
Нелинейный показатель преломления, $\text{m}^2/\text{Вт}$ [13]	$n_2 = (6.5 \pm 1) \times 10^{-24}$
Протяженность фононного спектра, $\text{cm}^{-1}$ [14]	~880
Обнаруженные ВКР-активные колебательные моды, $\text{cm}^{-1}$	$\omega_{\text{VKR}1} \approx 720, \omega_{\text{VKR}2} \approx 550$

\* Здесь  $k_o = 1.89028$ ,  $k_e = 1.85839$  и  $n_o = 0.12268$ ,  $n_e = 0.11843$  ( $\lambda, \lambda_{o,e}$  в мкм).



**Рис. 1.** Спектры стационарной  $\chi^{(3)}$ -нелинейной генерации тетрагонального кристалла  $\text{Ca}_2\text{Ga}_2\text{SiO}_7$ , зарегистрированные в условиях геометрии их возбуждения  $b(a, a)b$  (а) и  $a(c, c)a$  (б) излучением ( $\lambda_b = 0.53207$  мкм) второй гармоники  $\text{Nd}^{3+} : \text{Y}_3\text{Al}_5\text{O}_{12}$  пикосекундного лазера. Длины волн стоксовых и антистоксовых линий (линии возбуждения отмечены звездочкой) даны в мкм. Спектральные эквидистантные зазоры между линиями указаны связующими скобками и обозначены ВКР-активными фононными модами  $\omega_{\text{BKR}1} \approx 720 \text{ см}^{-1}$  и  $\omega_{\text{BKR}3} \approx 550 \text{ см}^{-1}$ .

Спектральные измерения проводили на дифракционном монохроматоре (Mc-Pherson-218) с линейным Si-CCD-детектором (Hamamatsu-Photonics S3923-1024Q). Два из полученных с их помощью спектров, показанных на рисунке 1, четко иллюстрируют две обнаруженные ВКР-промоутирующие фононные моды  $\omega_{\text{BKR}1} \approx 720 \text{ см}^{-1}$  и  $\omega_{\text{BKR}2} \approx 550 \text{ см}^{-1}$  исследуемого кристалла. Результаты идентификаций линий генерации этих спектров представлены в табл. 2.

Коротко о вибронной природе обнаруженных ВКР-промоутирующих фононных мод в титульном кристалле. Фактор-групповой анализ нормальных решеточных колебаний ряда кристаллов-“мелилитов”, в том числе силикатов (например, [16]), изоструктурных  $D_{2d}^3$ -тетрагональному  $\text{Ca}_2\text{Ga}_2\text{SiO}_7$ , показал, что среди 69 их оптических мод  $\Gamma_{\text{O}(69)} = 10A_1 + 6A_2 + 7B_1 + 10B_2 + 18E$   $A_1$ -моды

могут принадлежать колебаниям их структурных групп  $\text{Si}_2\text{O}_7$ . По аналогии с результатами [16, 17] обнаруженные ВКР-моды изученного силиката  $\omega_{\text{BKR}1} \approx 720 \text{ см}^{-1}$  можно идентифицировать с полносимметричным  $A_1$ -колебанием  $v_s(\text{SiO}_3)$ , а моды  $\omega_{\text{BKR}2} \approx 550 \text{ см}^{-1}$  – с его мостиковым  $A_1$ -колебанием  $v_s(\text{SiOSi})$ . Таким образом, обнаружение  $\chi^{(3)}$ -нелинейного свойства в кристалле  $\text{Ca}_2\text{Ga}_2\text{SiO}_7$  придало ему статус многофункционального практического материала и открыло путь создания на его основе ( $\text{Nd}^{3+} : \text{Ca}_2\text{Ga}_2\text{SiO}_7$ ) само-ВКР лазерных конвертеров ближнего ИК-диапазона спектра.

Автор выражает благодарность О. Лаксу и Х. Рии за участие в ВКР-эксперименте.

Исследования входят в план фундаментальных исследований Института кристаллографии ФНИЦ “Кристаллография и фотоника” РАН и в программу

**Таблица 2.** Спектральный состав  $\chi^{(3)}$ -нелинейного лазинга  $D_{2d}^3$ -тетрагонального кристалла  $\text{Ca}_2\text{Ga}_2\text{SiO}_7$ 

Геометрия возбуждения*	Стоксов (St) и антистоксов (ASt) $\chi^{(3)}$ -лазинг			ВКР-активные фононные моды, $\text{см}^{-1}$	
	Длина волны, мкм**	Линия генерации	Процесс $\chi^{(3)}$ -лазинга***	$\omega_{\text{ВКР1}}$	$\omega_{\text{ВКР2}}$
$b(a, a)b$ (рисунок а)	0.5027	ASt <sub>2-2</sub>	$\omega_b + 2\omega_{\text{ВКР2}} = \omega_{\text{ASt2-2}}$		~550
	0.5170	ASt <sub>1-2</sub>	$\omega_b + \omega_{\text{ВКР2}} = \omega_{\text{ASt1-2}}$		~550
	0.53207	$\lambda_b$	$\omega_b$		
	0.5481	St <sub>1-2</sub>	$\omega_b - \omega_{\text{ВКР2}} = \omega_{\text{St1-2}}$		~550
	0.5652	St <sub>2-2</sub>	$\omega_b - 2\omega_{\text{ВКР2}} = \omega_{\text{St2-2}}$		~550
$a(c, c)a$ (рисунок б)	0.4942	ASt <sub>2-2</sub>	$\omega_b + 2\omega_{\text{ВКР1}} = \omega_{\text{ASt2-1}}$	~720	
	0.5124	ASt <sub>1-1</sub>	$\omega_b + \omega_{\text{ВКР2}} = \omega_{\text{ASt1-1}}$	~720	
	0.53207	$\lambda_b$	$\omega_b$		
	0.5533	St <sub>1-1</sub>	$\omega_b - \omega_{\text{ВКР1}} = \omega_{\text{St1-1}}$	~720	
	0.5762	St <sub>2-1</sub>	$\omega_b - 2\omega_{\text{ВКР1}} = \omega_{\text{St2-1}}$	~720	

\* В обозначениях в скобках указаны направления поляризации (вдоль оси *a* или *c*) излучения возбуждения и  $\chi^{(3)}$ -нелинейной генерации, за скобками – направления лазерного возбуждения  $\chi^{(3)}$ -генерации.

\*\* Точность измерения  $\pm 0.0003$  мкм.

\*\*\* Схемы процессов приведены в сокращенной форме. Например, полная запись четырехволнового параметрического процесса антистоксова лазинга ASt<sub>1-1</sub> с длиной волны  $\lambda_{\text{ASt1-1}} = 0.5124$  мкм будет  $\omega_b + \omega_{\text{ВКР2}} = \omega_b + \omega_b - (\omega_b - \omega_{\text{ВКР1}}) = \omega_b + (\omega_b - \omega_{\text{St1-1}}) = \omega_{\text{St1-1}}$  (здесь в квадратных скобках указаны наиболее вероятные спектральные генерационные компоненты, обеспечивающие параметрический антистоксовой  $\chi^{(3)}$ -лазинг).

Президиума РАН “Экстремальные лазерные поля и их взаимодействие с веществом”.

### СПИСОК ЛИТЕРАТУРЫ

1. Alam M., Goen K.H., Di Bartolo B. et al. // J. Appl. Phys. 1968. V. 39. № 8. P. 4728.
2. Kaminskii A.A. Crystalline Lasers: Physical Processes and Operating Schemes. Boca Raton, FL: CRC Press, 1996. 592 p.
3. Weber M.J. Handbook of Laser Wavelengths. Boca Raton, FL: CRC Press, 2000. 784 p.
4. Kaminskii A.A., Nakao H., Bohatý L. et al. // Laser Phys. Lett. 2010. V. 7. № 12. P. 876.
5. Kaminskii A.A., Belokoneva E.L., Mill' B.V. et al. // Phys. Status Solidi. A. 1986. V. 97. № 1. P. 279.
6. Каминский А.А., Буташин А.В., Демчук М.И. и др. // Изв. АН СССР. Сер. неорган. материалы. 1988. Т. 24. № 12. С. 2075.
7. Каминский А.А., Карапев В.А., Дубров В.Д. и др. // Квантовая электроника. 1992. Т. 19. № 2. С. 111.
8. Kaminskii A.A., Verdun H.R., Mill B.V. // Phys. Status Solidi. A. 1992. V. 135. № 2. P. 112.
9. Kaminskii A.A. // Laser Photonics Rev. 2007. V. 1. № 2. P. 93.
10. Каминский А.А., Белоконева Е.Л., Миль Б.В. и др. // Изв. АН СССР. Сер. неорган. материалы. 1986. Т. 22. № 7. С. 1138.
11. Mayer H., Wittman A. // Monatsh. Chem. 1972. B. 108. № 2. S. 460.
12. Каминский А.А., Карапев В.А., Дубров В.Д. и др. // Неорган. материалы. 1992. Т. 28. № 5. С. 1034.
13. Burshtein Z., Kostoulas Y., van Driel M.M. // J. Opt. Soc. Am. B. 1997. V. 14. № 10. P. 2477.
14. Sarkisov S.E., Kaminskii A.A., Butashin A.V. // Phys. Status Solidi. A. 1989. V. 113. № 2. P. 585.
15. Kaminskii A.A., Bohatý L., Becker P. et al. // Laser Phys. Lett. 2008. V. 5. № 12. P. 845.
16. Hanuza J., Ptak M., Maczka M. et al. // J. Solid State Chem. 2012. V. 191. № 2. P. 90.
17. Kaminskii A.A., Rhee H., Lux O. et al. // Laser Phys. 2011. V. 8. № 12. P. 895.